

**Zeitschrift:** Schweizerische Bauzeitung  
**Herausgeber:** Verlags-AG der akademischen technischen Vereine  
**Band:** 67/68 (1916)  
**Heft:** 27

**Artikel:** Der Bruch des Staudamms an der Weissen Desse  
**Autor:** [s.n.]  
**DOI:** <https://doi.org/10.5169/seals-33133>

### **Nutzungsbedingungen**

Die ETH-Bibliothek ist die Anbieterin der digitalisierten Zeitschriften. Sie besitzt keine Urheberrechte an den Zeitschriften und ist nicht verantwortlich für deren Inhalte. Die Rechte liegen in der Regel bei den Herausgebern beziehungsweise den externen Rechteinhabern. [Siehe Rechtliche Hinweise.](#)

### **Conditions d'utilisation**

L'ETH Library est le fournisseur des revues numérisées. Elle ne détient aucun droit d'auteur sur les revues et n'est pas responsable de leur contenu. En règle générale, les droits sont détenus par les éditeurs ou les détenteurs de droits externes. [Voir Informations légales.](#)

### **Terms of use**

The ETH Library is the provider of the digitised journals. It does not own any copyrights to the journals and is not responsible for their content. The rights usually lie with the publishers or the external rights holders. [See Legal notice.](#)

**Download PDF:** 02.04.2025

**ETH-Bibliothek Zürich, E-Periodica, <https://www.e-periodica.ch>**

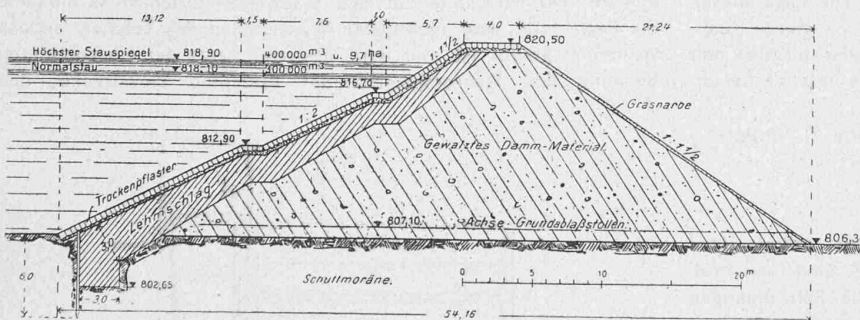
bestimmt und (am besten) durch Kurven dargestellt. Der ungefähre Schnittpunkt der Kurve  $L$  mit der Kurve  $\frac{4}{10} C_1 + \frac{2}{10} C_2$  zeigt an, für welchen Wert von  $d$  dies zu wiederholen ist, wonach sich in der Regel der genaue Schnittpunkt und der endgültige Wert von  $d$ , dem wirtschaftlichen Durchmesser einer Abteilung ergibt. Hierbei kann der Koeffizient  $c$  für den Anfang zu ungefähr 100 angenommen und so beibehalten werden, so lange die Geschwindigkeit sich zu etwa 3 bis 4  $m$  berechnet. Für andere Geschwindigkeiten muss  $c$  in gewohnter Weise geändert werden. Ebenso wäre das Resultat eventuell mit Rücksicht auf eine anders als zuerst angenommen ausfallende Wandstärke  $t$  zu modifizieren durch Anwendung eines genaueren Wertes für  $k$ .

### Der Bruch des Staudamms an der Weissen Desse.

Seit unserer Berichterstattung mit Abbildung der Durchbruchsstelle auf Seite 242 dieses Bandes ist nun in den ersten Dezemberrummern der „Deutschen Bauzeitung“ eine einlässliche Darlegung des ganzen Sachverhaltes, begleitet von zahlreichen Abbildungen, erschienen. Wir entnehmen diesem, von Obering. Ott und Regierungsbaumeister Marquardt in Brüx (Böhmen) verfassten Aufsatz noch einige Einzelheiten, sowie die Profilzeichnung des Dammes, und verweisen im übrigen auf die genannte reichhaltige Quelle.

„Der wie die meisten Erddämme in gerader Richtung das Tal absperrende Damm, dessen Querschnitt beigegebene Abbildung zeigt, hat an der Wasserseite eine 1:1,5 geneigte Böschung bis auf Höhe 816,7, woselbst eine 1  $m$  breite Berme den Uebergang in die Böschungsneigung 1:2 bis Höhe 812,9 vermittelt, um hier durch eine 1,5  $m$  breite Berme unterbrochen zu werden und in derselben Neigung bis zur Talsohle weiter zu gehen. Die luftseitige Böschung hat ohne Berme die reichlich steile Neigung 1:1,5.

Der Querschnitt des Dammes setzt sich zusammen aus einer Lehmhaut an der Wasserseite, deren Stärke von 1  $m$  an der Krone auf 3  $m$  am Dammfuss zunimmt und daselbst 3,69  $m$  tief hinter einer Spundwand in den lehmig-sandigen bis schotterartigen Untergrund eingebunden ist; ferner aus einer vor die Lehmschale gesetzten, gegen Wellenschlag schützenden Trockenpflasterung aus Granitsteinen von 30  $cm$  Stärke mit durch Steinsplittler ausgezwickten Fugen auf 40  $cm$  starker Schotterlage, sowie einem stützenden, in Schichten von 40  $cm$  mittels 3000  $kg$  schwerer Benzinauto-Walze verdichteten Dammkörper, dessen sandig-lehmiges



Profil des am 11. September 1916 gebrochenen Staudamms an der Weissen Desse. — 1:500.

bis geröllartiges Material der obersten Verwitterungsschicht der im Staubecken gelagerten Schuttmoräne entnommen ist.

Die Spundwand an der Wasserseite der Lehmschale reicht 6  $m$  unter die Talsohle, bindet aber, im Gegensatz zum Damm an der Schwarzen Desse, noch nicht in undurchlässige Schichten ein, sodass die Vermutung nahe liegt, dass auch noch in dieser Tiefe (in Probegruben hat man in 10  $m$  Tiefe noch keinen Fels angefahren), zwischen dem sandig-lehmigen Verwitterungsprodukt des Granites grössere Geröllstücke und Felsblöcke eingelagert sind, die, selbst unter der Voraussetzung einer dichten Lagerung, doch keineswegs wasserdicht sein können. Man muss sich daher fragen, ob bei dem am Fuss der Spundwand herrschenden grössten Wasserdruck von 18,56  $m$  nicht die Bildung von Wasseradern möglich war, die durch die infolge des Rammens wahrscheinlich eingetretene Lockerung der Geschiebestücke vielleicht noch begünstigt wurde.

Ob die bei der Weissen Desse gewählte Abdichtung des Talgrundes auf die Dauer genügt hätte, muss bei dem grossen Talgefälle von 3 bis 5% bezweifelt werden, umso mehr als das dem Staubecken entnommene — zweifellos ausgesuchte — Schüttungsmaterial nur 14% Lehmbestandteile enthielt, im übrigen aber über 28% Grusgeschiebe aufweist.<sup>1)</sup> Die aus den Bodenuntersuchungen (Tabelle III) nachgewiesene grosse Durchlässigkeit des Dammmaterials erfährt insofern eine Bestätigung, als bei einem weniger durchlässigen Material das im Damm-Innern sitzende Wasser bei einem sehr raschen Sinken des Wasserspiegels nicht schnell genug aus diesem entweichen kann, sodass infolge der reibungsvermindernden Eigenschaft des im Dammkörper befindlichen Wassers ein Abrutschen der Böschungsflächen eintreten würde. Das war aber an der Durchbruchsstelle nicht der Fall; vielmehr sind, wie auch die photographischen Aufnahmen zeigen, sehr steile Bruchflächen zu erkennen, deren Zustandekommen man wohl der leichten Neigung des Dammkörpers, Wasser rasch aufzunehmen und abzugeben, zuschreiben muss“ usw.

Aus der oben erwähnten „Tabelle III“ ergibt sich die prozentuale Verteilung nach Korngrössen des Dammschüttungsmaterials im Innern zu: Grus über 4  $mm$   $\ominus$  28%, grober Sand 4 bis 2  $mm$   $\ominus$  38%, Sand von 1 bis 0,1  $mm$  20% und lehmhaltige Teile 14%. Der wasserseitige „Lehmschlag“ wies auf: Grus 11%, groben Sand 47%, Sand 27,5% und lehmhaltige Teile 14,5%!

### Eine einfache Bestimmung der relativen Luftfeuchtigkeit.

Die unter dem Titel *Graphische Darstellung des Luftbefeuchtungs- und Trocknungsvorganges* in der Schweizerischen Bauzeitung vom 30. September 1916 (Seite 156 dieses Bandes) gegebene graphische Darstellung<sup>2)</sup> gestattet u. a. auch, in sehr einfacher Weise, die Bestimmung der relativen Feuchtigkeit der Luft aus der Ablesung eines trockenen und eines „feuchten“ Thermometers. Diese Methode ist alt, wird aber in der Praxis nicht so oft angewendet, als sie infolge ihrer Einfachheit verdient, vielleicht weil die Ausrechnung des Resultates etwas schwierig ist. In seinem Buche über Kondensatoren zeigt aber *F. J. Weiss* anhand eines ähnlichen Diagrammes, wie man diese relative Feuchtigkeit leicht nach der Zwei-Thermometer-Methode bestimmen kann. Da die Kenntnis der relativen Luftfeuchtigkeit in der Praxis oft wünschenswert ist, direkt zeigende Hygrometer aber eine besondere Aichung benötigen, dürfte eine kurze Erläuterung der Methode, die mittels zwei guter Thermometer, ohne besondere Aichung, auch anhand des in der Bauzeitung veröffentlichten Diagramms vorgenommen werden kann, angebracht sein.

Zur Ausführung der Messung hängt man in den Raum, in dem die relative Luftfeuchtigkeit bestimmt werden soll, zwei vorher miteinander verglichene Thermometer auf und umgibt das untere Ende des einen mit einem Stückchen porösem Stoff, das in ein Schälchen mit etwas Wasser taucht, derart, dass sich der Stoff leicht mit Wasser voll saugt. Die Luft in der Nähe der beiden Thermometer hält man z. B. durch einen Zimmerventilator in dauernder leichter Bewegung. Beide Thermometer sind, wenn nötig, durch Schirme gegen Wärmestrahlung zu schützen.

Die in unmittelbarer Berührung mit der feuchten Hülle vorüberströmende Luft sättigt sich an der Berührungsstelle vollständig mit Wasserdampf. Da keine Wärme von aussen zugeführt wird, muss die Luft aus ihrem eigenen Wärmeinhalt die nötige Verdampfungswärme liefern. Dabei kühlt sie sich ab. Die von der Gewichtseinheit Luft zur Verdampfung aufzubringende Wärmemenge ist gegeben durch die Wassermenge, die verdunstet werden muss, bis die Gewichtseinheit Luft gesättigt ist. Aus dieser Verdampfungswärme und der spezifischen Wärme der Luft resultiert eine be-

<sup>1)</sup> Bei andern ausgeführten Erddämmen bestand das Schüttmaterial aus folgenden Teilen: Mittersheim 50% Sand und 50% Ton, Montaubay 66 $\frac{2}{3}$ % Sand und 33 $\frac{1}{3}$ % Ton, La Liez 56% Sand und 44% Ton, Cold Springs 75% Kies und 25% Lehm, Marne-Saône-Kanal 30 bis 70% Sand und 70 bis 30% Lehm, Straschin-Prangschin 71% Sand und 29% Ton, Schwarze Desse 48% Sand und 52% Lehm, Weisse Desse 86% Sand und 14% Lehm.

<sup>2)</sup> Wir wiederholen hier (auf S. 314) zum bessern Verständnis des Folgenden die betreffende Abbildung. *Red.*